

エアレーションに伴なう流れが富栄養化関連水質に及ぼす影響の検討

中部工業大学 正員 松尾直規

1. はじめに。貯水池など閉鎖水域にかける富栄養化対策の1つとしてエアレーションによる曝気循環が考えられ、一部では既に実施されている所もある。しかしながら、その水質改善効果については必ずしも明らかでない。本報は、このエアレーションによる水質改善効果に関する課題を、水理学的立場より明らかにすることを目的に、富栄養化関連水質に及ぼす流れの影響を数値解析手法を用いて検討したものである。

2. エアレーションに伴なう流れ

エアレーションに伴なう流れは、曝気方式、曝気水深、注入空気量、周囲水の密度（温度）分布などによって影響されるが、その導動の解明は未だ十分でなく、重要な研究課題の1つとなっている。¹⁾ここでは、著者らが開発を進めているこうした流れの数値解析手法を用いて流れを仮定し、以下の解析を行うこととする。対象とする流れの場合は、直径20m、水深16mの閉鎖水域を想定し、図-1に示すような空間分割を行う。円筒座標系を用い、図-1に示したコントロール・ボリュームについて展開された水の連続式、運動量保存則、水温収支則及び気泡密度収支則を使って、水深8.5mの位置に連続的に $3.5 \times 10^6 \text{ Nm}^3/\text{min}/\text{m}^2$ の空気を注入した際の流速分布を計算する。この数値解析モデルの詳細については既に報告しているので、ここでは省略するが、静水圧分布を仮定し、気泡のslipを無視した单纯化モデルである。得られた結果は図-2に示すようであるが、流速値自体はともかくとして定性的にはほぼ妥当であることが確認されている。

3. 富栄養化関連水質の解析法

2.で述べたエアレーションに、伴なう流れの場において富栄養化に関係が深いと考えられるクロロフィルa（植物プランクトン量の指標）、炭素（動物プランクトン量の指標）、無機及び有機態窒素、無機及び有機態リン、COD、濁度の8水質項目及び水温の変化を解析する。そのための数学モデルは、著者らが既報で報告しているものとほぼ同様であり円筒座標系を用いたとさ、次のように示される。²⁾下方水温の収支則は既報と同一であり、ここでは省略する。

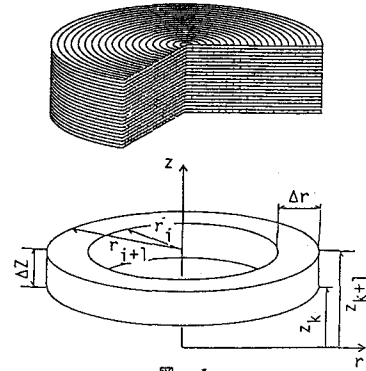


図-1 解析に用いたコントロール・ボリューム

$$\frac{\partial C_p}{\partial t} + \frac{2}{r_{i+1} - r_i} \left| C_p V_r \right|_{r=r_i}^{r=r_{i+1}} + \frac{1}{dz} \left| C_p V_z \right|_{z=z_k}^{z=z_{k+1}} = \frac{2}{r_{i+1}^2 - r_i^2} \left| r Dc_{ir} \frac{\partial C_p}{\partial r} \right|_{r=r_i}^{r=r_{i+1}} + \frac{1}{dz} \left| Dc_{iz} \frac{\partial C_p}{\partial z} \right|_{z=z_k}^{z=z_{k+1}} + S_{ci}$$

ここに S_{ci} は濃度の発生、消滅項及び沈降項であり、各水質濃度、すばわちクロロフィルa濃度 C_p 、炭素濃度 C_x 、無機、有機態窒素濃度 C_{IN} 、 C_{IO} 、無機、有機態リン濃度 C_{IP} 、 C_{IO} 、COD濃度 C_{COD} 、濁度 C_{SS} について以下のようである。

$$C_p: S_{cp} = (G_p - D_p) C_p + \frac{1}{dz} \left| C_p \cdot W_{cp} \right|_{z=z_k}^{z=z_{k+1}}, \text{ここで } G_p = S_p \cdot R_p \cdot \theta_p^{T-20} \cdot \frac{I_p}{I_s} \exp(1 - \frac{I_p}{I_s}) \cdot \frac{C_{IN}}{K_{IN} + C_{IN}} \cdot \frac{C_{IP}}{K_{IP} + C_{IP}}$$

$$D_p = R_{cp} \cdot \theta_{cp}^{T-20} + C_g \cdot \frac{K_{cp}}{K_{cp} + C_g} C_x$$

$$C_Z; \quad S_{C_Z} = (\Delta Q_Z G_Z - D_Z) C_Z, \quad \text{ここに } C_Z = C_0 \frac{K_{C_P}}{K_{C_P} + G_P} \cdot C_P, \quad D_Z = R_Z \cdot \theta_Z^{T-20}$$

$$C_{IN}; \quad S_{C_{IN}} = -\beta G_P C_P + \beta(1-Q_Z) G_Z \cdot C_Z + R_N \theta_N^{T-20} (C_{ON} - \beta C_P - \gamma C_Z) + \frac{E_{C_{IN}}}{\Delta Z}$$

$$C_{ON}; \quad S_{C_{ON}} = \beta G_P C_P - \beta(1-Q_Z) G_Z \cdot C_Z - R_N \theta_N^{T-20} (C_{ON} - \beta C_P - \gamma C_Z) + \frac{1}{\Delta Z} (C_{ON} - \gamma C_Z) \cdot W_{C_{ON}} \Big|_{Z=k}^{Z=k+1}$$

$$C_{IP}; \quad S_{C_{IP}} = -\delta_P G_P C_P + \delta_P(1-Q_Z) G_Z \cdot C_Z + R_P \theta_P^{T-20} (C_{OP} - \delta_P C_P - \delta_Z C_Z) + \frac{E_{C_{IP}}}{\Delta Z} + \frac{1}{\Delta Z} (C_{IP} \cdot W_{C_{IP}}) \Big|_{Z=k}^{Z=k+1}$$

$$C_{OP}; \quad S_{C_{OP}} = \delta_P G_P C_P - \delta_P(1-Q_Z) G_Z \cdot C_Z - R_P \theta_P^{T-20} (C_{OP} - \delta_P C_P - \delta_Z C_Z) + \frac{1}{\Delta Z} (C_{OP} - \delta_Z C_Z) \cdot W_{C_{OP}} \Big|_{Z=k}^{Z=k+1}$$

$$C_{CO_D}; \quad C_{CO_D} = K_P \cdot G_P \cdot C_P - f_C C_{CO_D} + \frac{E_{C_{CO_D}}}{\Delta Z}$$

$$C_{SS}; \quad C_{SS} = \frac{1}{\Delta Z} (C_{SS} \cdot W_{C_{SS}}) \Big|_{Z=k}^{Z=k+1}$$

なお、各式の記号は、一部を除けば既報の通りであり、紙面の都合上二二では省略する。各水質濃度収支則を手えられた諸条件の下で、Runge-Kutta法を用いて数値解析すれば、その変化が求まることになる。

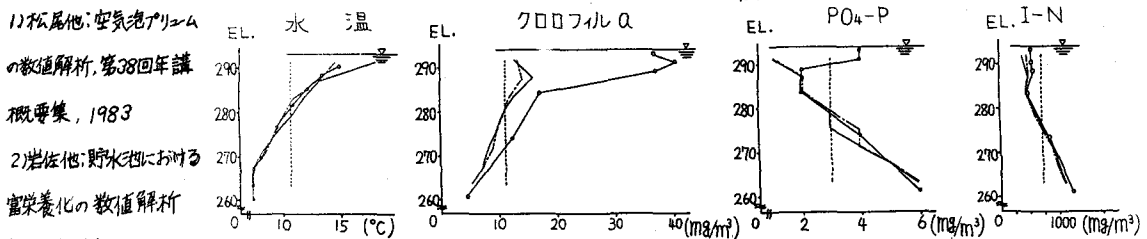
4. 解析結果とその考察

図-2に示された流速場は、 Δt 及び Δz を $1.0m$ として計算されたものであるが、その値をそのまま用いると数値解の安定条件より Δt が4秒程度となり、膨大な計算時間を必要とする。このため水質解析にあたっては、 $\Delta t = 4Z = 2.0m$ とし、得られた流速値を平均化して用いることにした。計算は、動物プランクトン濃度、COD、濁度を除く各水質濃度の初期値、気象条件に実際の野水池における実測値を用い、各濃度の生成、消滅係数及び拡散係数は過去の経験により十分に調整された値を用いた。なお、比較のために静水状態で拡散のみを考えた場合についても同様の計算を実施した。

図-3は以上のようにして得られた結果の一例である。各図には、計算開始時より48時間後の水温、クロロフィルa、無機態窒素及びリンの各計算値と初期値を示している。同図より、鉛直流が卓越する曝気位置を含むカラムにおいて、各計算値は、水深方向の混合効果によってほぼ一様となるのにに対し、流速の小さい最遠部(20m地点)では、こうした効果が比較的小さく、静水状態との差はまだわざかであることがわかる。しかしながら、水温及びクロロフィルaの分布については、最遠部でも循環流の存在によって、表水層での低減効果が認められる。しかし、こうした効果がどこまで移流混合によるのか、それと共に伴う各水質濃度変化や生物・化学的変化にどの程度寄与しうるかについては、より長期間のシミュレーション結果をみなければならぬ。今後、より実際に近い条件下での長期間の解析を進め、課題の解明を図っていただきたい。

参考文献

○—● 初期値 — 静水状態 - - - 流れのある場合
(曝気位置) --- 流れのある場合
(曝気との位置より20mの地点)



京大防災年報24-B, 1981

図-3 水温及び水質濃度分布の比較(48時間後)